

III-56 飽和粘性土の非排水セン断試験における最適ヒズミ速度と透水係数との関係について

大林組 正員 ○八戸 裕
 静岡県 " 松村 英明
 北海道大学 " 三田地 利之

1. まえがき

この実験は文献¹⁾に示す研究の拡張であるが、1)と異なるところは試料の数を4つにして透水係数(K)の中をひろげたことと、供試体の高さの中央に図-1に示すようなプローブ²⁾を装着して、供試体底での間ゲキ水压(U_b)の測定と独立に側面の間ゲキ水压(U_c)を測定したことの2点であって、他はすべて1)の文献と同じである。

2. 試料および実験方法

試料は表-1に示す物理的性質をもつもので、乱した試料による供試体の作製法は真空圧縮法²⁾とドライアイス法³⁾(高含水比のとき)によった。Escarloの解析法によつて透水係数(K)を求めるための三軸圧密試験の圧密圧は $1, 2, 4, 7 \text{ kg/cm}^2$ の4段階とし、加圧方法は 1 kg/cm^2 までの $0 \rightarrow 1 \rightarrow 2, 0 \rightarrow 2 \rightarrow 4, 0 \rightarrow 4 \rightarrow 7 \text{ kg/cm}^2$ のように段階的にした。圧縮試験は最終圧密圧を一定に保ち、軸ヒズミを供試体初期高さの $1/10, 1/2, 0.04, 0.008\%/\text{min}$ ($\dot{\epsilon}$)の4段階に分けて行った。その他の細部は1)の文献に示すものと同じであるので省略する。

3. 実験結果とその考察

1) 圧密圧力と透水係数

図-2がその結果である。両対数紙上では、直線をなし、Escarloによる計算²⁾と使うか軸ヒズミを使うかによって結果が異なる。図は3つの土の K の大略の範囲を示すものと考えればよい。No.4は変水位透水試験により得られた K と $\dot{\epsilon}$ とを対応させ、 $\dot{\epsilon}$ vs $\log K$ が直線をなし、 $\dot{\epsilon}$ は $3 \times 10^{-4} \sim 3 \times 10^{-3} \text{ cm/sec}$ の範囲にあった。

2) 2つの測定間ゲキ水压 U_b, U_c ならびに間ゲキ水压係数 A_b, A_c の比較

圧密終了後、間ゲキ水压の測定を伴う非排水三軸圧縮試験を行つて図-3のようないくつかの結果を得た。この図からいえることは

- No.1のようにたが 10^{-8} cm/sec の粘土では $\dot{\epsilon} = 1\%/\text{sec}$ では供試体底の間ゲキ水压(U_b)は中央値のそれより

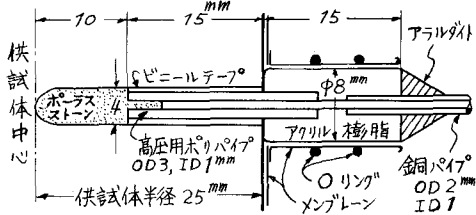
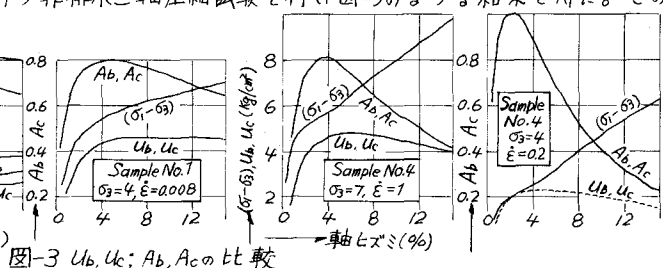
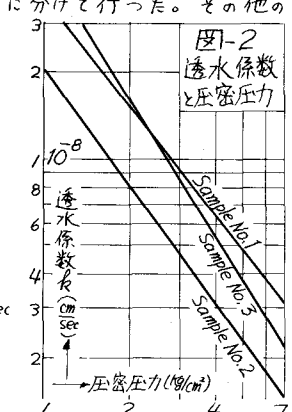


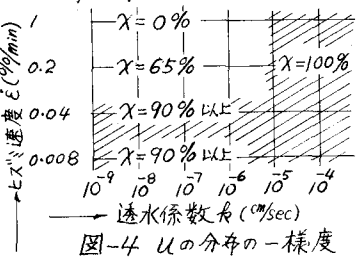
図-1 プローブ(中央用)

	No	LL(%)	Pf(%)	比重	粘土分(%)	採取地
1	96	49	2.66	62	札幌市苗穂	
2	89	56	2.78	61	空知郡栗沢町	
3	51	21	2.73	26	札幌市北大工学部	
4	—	—	2.64	12	函館市北浜埠頭	

表-1 試料の物理的性質



大きく、有効応力にもとづく強度定数 ϕ' をさきめるときの基準にならないこと、 U_b , U_c に差があるのを、 $(\sigma'_1 - \sigma_3)$ と U から計算する A もちがつてくること、それが $\dot{\varepsilon} = 0.008 \%/\text{min}$ になると、 U_b と U_c はほとんど一致し、したがつて A も一致すること、他方 No. 4 のように $k = 10^{-4} \text{ cm/sec}$ 程度のシルトでは、 $\dot{\varepsilon} = 1 \%/\text{min}$ でも U_b と U_c に差生じないこと、したがつて A も同じであること、などである。いま次式の X による U_b と U_c の一致の程度を示す量としてみる。 U のオフ尾字は at failure の意味であるが、ほんどの場合、 $\dot{\varepsilon} = 15\%$ を意味する。 ρ は圧密 $\dot{\varepsilon}$ が $1\%/\text{min}$ なら 0 である。つまり $\dot{\varepsilon} = 1\%/\text{min}$ を基準にとったときの U_b と U_c のくらい違いの程度、すなわち U の一様度を示すのが X である。図-4 がその計算結果である。斜線部は $X = 90\%$ 以上の範囲を示したもので、この程度のたとえの組合せならば、破壊の多発する供試体中央部のひき、底部のとびで代用できることを示している。



3) ヒズミ速度と強度定数の関係

図-5 は、 U_b , U_c にもとづき計算されたせん断抵抗角中、 ϕ'_c である。この図からいえることは i) 全般に $\phi'_b > \phi'_c$ で、はやいほどこの差は顕著になり、ii) ϕ'_b は $\dot{\varepsilon}$ に余り影響されず、この実験に実する限り、No. 2 を除けば、 $\dot{\varepsilon} = 1 \%/\text{min}$ でも ϕ'_b の値は信頼性が高い、iii) U_b によって ϕ' をさきめるときは、普通の粘土では $\dot{\varepsilon} = 0.04 \%/\text{min}$ 前後が適当であり、iv) $k = 10^{-4} \text{ cm/sec}$ 程度では $\dot{\varepsilon} = 1 \%/\text{min}$ でもよい。

4) 端部マサツの除去

$\dot{\varepsilon}$ が大きい場合、 U_b と U_c に差の生ずる原因の一つは供試体の上下端面にマサツが生ずることにあるので、これを確認するために行った実験が図-6 であつて、端面にシリコングリースを塗布したものである。 $\dot{\varepsilon} = 1 \%/\text{min}$ で U_b と U_c の差がこの程度であれば、供試体中の U は充分に一様化したとみることができる。すなわち通常の試験では $\dot{\varepsilon} = 0.04 \%/\text{min}$ の U_b によって求められる中でも、端部マサツを除去あるいは減少すれば、 $\dot{\varepsilon} = 1 \%/\text{min}$ でも、ある程度正しい ϕ' が得られ、時間の節約になることさ意味する。

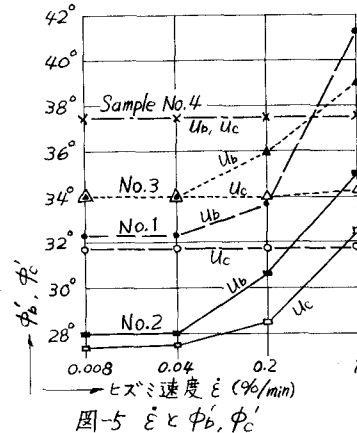


図-5 $\dot{\varepsilon}$ と ϕ'_b , ϕ'_c

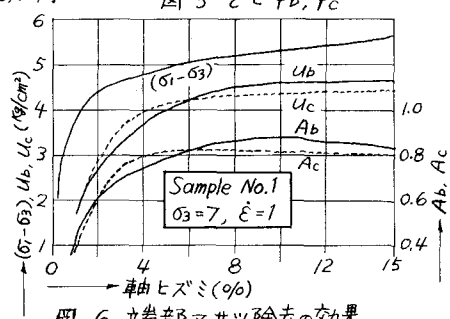


図-6 端部マサツ除去の効果

この実験では、以上の外に圧縮試験中の間ゲキ水压の分布についても、なにがしかの知見を得たのであるが、スペースの関係から、それは別の機会にゆずることにする。

1) 北郷, 佐藤: 饱和粘土の間ゲキ水压測定……, 土木学会 23 回年次学術講演会 III-32, p. 91

2) 北郷, 三田地, 上田: 亂した飽和粘土の……, 土質工学会北海道支部, 技術報告資料第 9 号 p. 97

3) 山本 雄: 粘性土の三軸圧縮強さ……, 北大工学部, 昭和 41 年修士論文 p. 146